NOTIZEN 559

Infrarotabsorption von Ni-Zentren im Korund

Von G. V. Schultz und D. Haberland

Deutsche Akademie der Wissenschaften zu Berlin, Physikalisch-Technisches Institut, Bereich Lumineszenzforschung, Liebenwalde (Z. Naturforschg. 16 b, 559 [1961]; eingeg. am 23. Mai 1961)

Am NiO fanden Newman und Chrenko 1 bei 0,24 eV eine Absorptionsbande. Diese ließ sich nicht wie für CoO², bei dem eine Absorptionsbande in dem gleichen Spektralgebiet liegt, als Übergang zwischen den Termen des Grundniveaus deuten, weil nach Low3 durch ein kubisches Kristallfeld der tiefste Term in ein Singulett verwandelt wird. Die Autoren deuteten die Bande als optische Absorption der Spinwellen, d. h. sie führten diese Absorption im NiO auf einen antiferromagnetischen Effekt zurück. Ihre Deutung scheint uns nach unseren Ergebnissen am Al₂O₃: Ni recht zweifelhaft.

Nach dem Verneuil-Verfahren wurden Korund-Einkristalle mit einer Einlagerung von weniger als einem Gewichtsprozent NiO gezogen. Aus der einen Hälfte der Korundbirne wurde ein Einkristall der Dicke von 17 mm herausgeschnitten und an den zu durchstrahlenden Flächen poliert. Das in der Abbildung angegebene Spektrum wurde mit einem UR 10-Spektrometer aufgenommen *. Es zeigte sich eine Absorptions-

I Korundabsorption

0,2492 eV

0,2801

0,2967 3

0,2976

5 0,3032 II 0.37

Tab. 1. Zusammenstellung der Energiewerte der Absorptionslinien und -banden.

- ¹ R. Newman u. R. M. Chrenko, Physic. Rev. 114, 1507 [1959]; 115, 882 [1959].
- R. Newman u. R. M. Chrenko, Physic, Rev. 115, 1147 [1959].

3 W. Low, Solid State Physics, Suppl. 2, 33 [1960].

* Herr Prof. Dr. Ritschl gestattete uns freundlicherweise die Benutzung des UR 10.

bande, die der von Johnson und Cronemeyer 4 und auch der von l. c. 1 gemessenen ähnelt, jedoch energetisch um 0,13 eV verschoben ist. Außerdem tritt eine Anzahl von Absorptionslinien auf.

In der Tab. 1 sind die genauen Energiewerte der Absorptionslinien und -banden zusammengestellt. Dabei ist die Bezeichnung der Abbildung entnommen. Für die Linien ergibt sich ein Fehler von $\pm 0,0006$ eVolt.

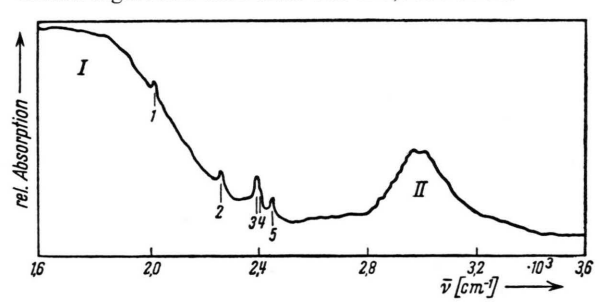


Abb. 1. IR-Spektrum eines Einkristalles von Korund mit weniger als 1 Gew.-% NiO.

Bevor die Untersuchungen über die Konfiguration des Nickels im Korund abgeschlossen sind, wollen wir keine Deutung der Absorptionslinien und der -bande aussprechen. Da jedoch nach den Ergebnissen von Sellwood und Mitarbb. 5 an Al2O3 einerseits mit Cr2O3 und andererseits mit Fe₂O₃ bis zu 5% ** kein Antiferromagnetismus auftritt, möchten wir das gleiche für Zusätze von NiO vermuten. Daher können wir beim Korund mit einer Einlagerung von weniger als einem Gewichtsprozent NiO einen antiferromagnetischen Effekt als Erklärung für das Auftreten der Bande II ausschließen.

Herrn Dipl.-Chem. H. Morwinski danken wir für die Reinheitsprüfung der Ausgangssubstanzen.

- ⁴ R. W. Johnson u. D. C. Cronemeyer, Physic. Rev. 93, 634
- [1954]. P. W. Sellwood, L. Lyon u. M. Ellis, J. Amer. chem. Soc.
- Wahrscheinlich bis ca. 8 Mol-%, weil darüber von den 13 das Fremdion umgebenden Al-Ionen eins und mehr durch weitere Fremdionen ersetzt werden.

3-Hydroxytyramin, ein biologischer Oxydationskatalysator der Photosynthese

Von Hans-Siegfried Gewitz und Wolfgang Völker Max-Planck-Institut für Zellphysiologie, Berlin-Dahlem (Z. Naturforschg. 16 b, 559-560 [1961]; eingeg. am 5. Juni 1961)

Wie vor kurzem gezeigt worden ist 1, kann man den Oxydations-Katalysator der Photosynthese, der im Licht aus grünen Grana Sauerstoff entwickelt, nachweisen und

¹ O. Warburg, G. Krippahl, H.-S. Gewitz u. W. Völker, Z. Naturforschg. 14 b, 712 [1959].

quantitativ bestimmen, indem man in belichteten Grana die Katalase durch n/100-Blausäure hemmt. Dann hat man im Licht die Reaktionen, wenn man den Oxydations-Katalysator mit F bezeichnet:

$$2 F + 2 H_2 O = 2 F H_2 + O_2$$
 (1)

$$\frac{2 F H_2 + 2 O_2}{2 H_2 O + O_2} = 2 F + 2 H_2 O_2
2 H_2 O + O_2 = 2 H_2 O_2$$
(2)
(3)

Bilanz
$$2 H_2O + O_2 = 2 H_2O_2$$
 (3)

d. h. im Licht wird O2 verbraucht und H2O2 gebildet, und zwar erscheinen 2 Moleküle H2O2, wenn 1 Molekül Sauerstoff verschwindet; während bei ungehemmter Katalase das gebildete H2O2 wieder zersetzt wird und deshalb die Sauerstoffbilanz Null wird. Die Kohlensäure kommt in diesen Gleichungen nicht vor, weil immer eben560 NOTIZEN

soviel Kohlenstoff durch das Chinon reoxydiert wird, als Kohlensäure durch O₂-Entwicklung reduziert wird.

Die Bilanzgleichung (3) haben wir als Testreaktion zur Isolierung des Oxydations-Katalysators F benutzt. Das Ergebnis ist, daß das biologische Oxydans in Spinatblättern 3-Hydroxytyramin ist,

$$\begin{array}{c} \text{OH} \\ \text{OH} \\ \text{CH}_2 \\ \text{CH}_2 \cdot \text{NH}_2 \end{array}$$

eine Substanz, die in erhitztem Spinatsaft in Mengen von $0.1~\rm mg/cm^3$ vorkommt und die wir als Tribenzoylverbindung kristallisiert und analysiert haben. Schmelzpunkt gef. 140° , nach der Literatur 141° . Mischschmelzpunkt mit Tribenzoat aus käuflichem 3-Hydroxytyramin ergab keine Depression.

Analysen:

4,28 mg Subst.: 1,870 mg $H_2O = 4,89\%$ H; 11,749 mg $CO_2 = 74,91\%$ C.

4,779 mg Subst.: 0,1176 cm³ N (24 °C, 768 mm Hg)

=2,86% N.

berechnet für C29H23O5N:

C 74,9%, H 4,99%, N 3,05 Prozent.

Die Analysen wurden im organisch-Chemischen Institut der Universität von Frau Dr. Fahs ausgeführt. 3-Hydroxytyramin ist zuerst von Schmalfuss und Heider ² aus Ginster und von von Euler ³ aus Säugetierharn isoliert worden.

In unserem Test fanden wir die in Tab. 1 verzeichneten Werte an O_2 -Verbrauch und H_2O_2 -Bildung im Licht, wenn 3-Hydroxytyramin oder Spinat-Hitzesaft zu gewaschenen Spinatgrana zugesetzt wurde. Die Arbeitsbedingungen waren wie folgt:

20°. Gasraum Luft. Versuchszeit 20 Minuten.

3 cm³ mit Wasser gewaschene Chloroplasten-Suspensionen aus Neuseeländer Spinat, die 1,3 mg Chlorophyll enthielten, wurden mit $J\!=\!36~\mu\mathrm{Molen}$ Quanten (weißes Licht) pro Min. belichtet. Die Suspensionsflüssigkeit enthielt außerdem 100 $\mu\mathrm{Mole}$ Phosphat p_H 6,8 und 50 $\mu\mathrm{Mole}$ KCl.

Im Dunkeln wurde weder O_2 -Verbrauch noch H_2O_2 -Bildung gefunden.

Berücksichtigt man die Wirkungsstärken und die Mengen anderer Oxydantien, die neben dem 3-Hydroxytyramin in dem Hitzeextrakt der Spinatblätter gefunden wurden, so kommen als Oxydations-Katalysatoren der Photosynthese gegenüber Hydroxytyramin in Spinatblättern nicht in Betracht: Pyridinnucleotide, Flavinnucleotide, Benzochinone, Naphthochinone, Chlorogensäure, Ascorbinsäure, Hydroxytyrosin (Dopa), Vitamin K-Körper (K_1 , K_3 , Phtiocol), Folsäure, Ubichinon, K of l e r- Chinon.

Herrn Otto Warburg danken wir für die Hilfe bei dieser Arbeit. geniatx

	$n/100 ext{-HCN}$		ohne HCN	
	-mm³ O ₂ -Aufnahme	$+\mathrm{mm^3~H_2O_2} ext{-Bildung}$	-mm³ O ₂ -Aufnahme	$+ \mathrm{mm^3~H_2O_2} ext{-Bildung}$
1,0 γ 3-Hydroxytyramin	-19,7	+37,3	-2	0
2,0 γ 3-Hydroxytyramin	-37,3	+71,8	(Photo-Oxydation der Carotinoide)	0
0,01 cm ³ Hitzesaft	-18,8	+35,4		0
$0,02~\mathrm{cm^3}$ Hitzesaft	-37,8	+71,8		0

Tab. 1. Werte für O2-Verbrauch und H2O2-Bildung im Licht.

² H. Schmalfuss u. A. Heider, Biochem. Z. 236, 226 [1931].

³ U. S. von Euler, U. Hamberg u. S. Hellner, Biochem. J. 49, 655 [1951].